

اثرات ضدیغ‌های مختلف بر میزان شکست DNA در جنین‌های خوک تولید شده

In vitro به روشن

فرزاد رجایی (Ph.D.)^۱، تاکشیح اتویی (Ph.D.)^۲

۱- استادیار، آزمایشگاه کشت سلولی، گروه علوم تشریح، دانشکده پزشکی، دانشگاه علوم پزشکی و خدمات بهداشتی-درمانی قزوین، قزوین، ایران.

۲- استاد، گروه تولیدمث، دانشکده دامپزشکی، دانشگاه یامانگوچی، یامانگوچی، ژاپن.

چکیده

زمینه و هدف: تاکنون از ضدیغ‌های زیادی جهت انجامات جنین‌های مرحله قبل از لانه‌گزینی به منظور جلوگیری از تشکیل یخ داخل سلولی استفاده شده است، ولی با این وجود تعداد زیادی از جنینها پس از ذوب به دلایل مختلفی از جمله نوع ضدیغ مورد استفاده و به دنبال آن شکست DNA جنین، در اثر سمیت ضدیغ از بین می‌روند. اتیلن‌گلیکول، ۲۱ پروپاندیول و گلیسرول ضدیغ‌های معمول می‌باشند که به طور وسیعی برای انجامات جنین حیوانات گوناگون و همچنین انسان استفاده می‌شود. هدف از مطالعه حاضر، بررسی اثرات ضدیغ‌های مختلف روی میزان شکست DNA بلاستوسیست‌های خوک به منظور تعیین ضدیغ مناسب برای انجامات جنین خوک بود.

روش بررسی: تعداد ۱۹۷ بلاستوسیست خوک به روش In vitro تولید شدند و به طور تصادفی به چهار گروه تقسیم گردیدند. تعداد ۴ بلاستوسیست به عنوان گروه کنترل به مدت یک ساعت در محلول PBS بدون ضدیغ قرار گرفتند. بقیه بلاستوسیست‌ها در سه گروه متفاوت در معرض ۳ نوع محلول ضدیغ با غلظت ۱۰٪ به مدت یک ساعت در یک روش ۳ مرحله‌ای در درجه حرارت اتاق قرار گرفتند. به طوریکه ۴ بلاستوسیست در معرض اتیلن‌گلیکول و ۴ بلاستوسیست در معرض ۲۱ پروپاندیول و ۴ بلاستوسیست در معرض گلیسرول قرار گرفتند. شواهد مورفولوژیک از زنده ماندن بلاستوسیست‌ها پس از ۲۴ ساعت کشت مجدد در گروه‌های مختلف در محیط NCSU-37، براساس تشکیل مجدد حفره بلاستوسیست به وسیله مشاهده استریومیکروسکوپی با بزرگنمایی ۴ برابر ارزیابی گردید. شاخص میزان شکست DNA در آنها پس از نشانه‌گذاری با تکنیک TUNEL و رنگ‌آمیزی زمینه‌ای با PI مشخص شد. داده‌ها با آنالیز واریانس و آزمون تعقیبی فیشر و با کمک نرم افزار Stutview مورد تجزیه و تحلیل قرار گرفت و سطح معنی‌داری ۰/۰۵ در نظر گرفته شد.

نتایج: قرار گرفتن بلاستوسیست‌های خوک در معرض ضدیغ‌های مختلف، منجر به افزایش تعداد هسته‌هایی با شکست DNA می‌شود. در ضمن، میزان شاخص شکست DNA در بلاستوسیست‌های دارای بلاستوسیست نسبت به بلاستوسیست‌های فاقد بلاستوسیست، بدون توجه به نوع ضدیغ کمتر بود.

نتیجه‌گیری: براساس نتایج این مطالعه در معرض ضدیغ قرار گرفتن بلاستوسیست‌های خوک، میزان شکست DNA را افزایش می‌دهد و در این میان اتیلن‌گلیکول کمترین میزان سمیت را دارد.

کلید واژگان: ضدیغ، سمیت سلولی، آپوپتوزیز، خوک، شکست DNA، بلاستوسیست.

مسئول مکاتبه: دکتر فرزاد رجایی، گروه علوم تشریح، دانشکده پزشکی، دانشگاه علوم پزشکی و خدمات بهداشتی-درمانی قزوین، قزوین، ایران.

پست الکترونیک: frajaei@qums.ac.ir

داده شده (فلوئورسین-dUTP) نشاندار می‌شوند و بنابراین انتهای شکسته شده قطعات DNA دو زنجیرهای، مستقل از زنجیره قالب نشان‌دار شده و در زیر میکروسکوپ فلوئورسانس قابل رویت می‌شود (۷). در این روش حتی سلول‌های مراحل اولیه آپوپتوزیز نشان‌دار می‌شوند (۵). این تکنیک در اندازه‌گیری کمی مرگ سلولی در جنین، که دارای تعداد سلول‌های معده‌ودی بوده و بنابراین مقادیر کمی DNA دارد بسیار مفید است (۷,۸). تاکنون به منظور جلوگیری از تشکیل یخ داخل سلولی از ضدیخ‌های فراوانی جهت انجماد جنین‌های مرحله قبل از لانه‌گزینی استفاده شده است؛ ولی با این وجود تعداد زیادی از جنینها پس از ذوب به دلایل مختلفی از جمله نوع ضدیخ مورد استفاده و به دنبال آن شکست DNA جنین در اثر سمیت ضدیخ از بین می‌رودند. اتیلن گلیکول (EG)، ۲و۱ پروپاندیول (PD) و گلیسرول (GLY) به طور وسیعی برای انجماد جنین در حیوانات گوناگون و همچنین انسان استفاده می‌شوند (۹). مرگ بلاستومرها بعد از انجماد، به دلیل تشکیل یخ در حین انجماد و ذوب پس از آن، تورم اسمزی و سمیت شیمیایی ضدیخ می‌باشد (۱۰,۱۱). اخیراً نشان داده شده است که تعداد سلول‌های آپوپتوزی جنین‌های منجمد شده پس از ذوب در مقایسه با جنین‌های منجمد نشده بیشتر است (۱۲,۱۳). با این وجود اطلاعات کمی در مورد اثرات ضدیخها بر مرگ سلولی بلاستومرها در جنین وجود دارد. براساس مطالعات قبلی، شکست DNA در طی پدیده انجماد مورد بررسی قرار گرفته است؛ ولی اینکه شکست DNA به دلیل عوامل برودتی می‌باشد یا عامل ضدیخ، هنوز مورد بحث می‌باشد.

هدف از مطالعه حاضر، ارزیابی اثرات ضدیخ‌های متفاوت بر روی میزان شکست DNA بلاستوسیستها به دنبال قرار گرفتن در معرض ضدیخ‌های مختلف به منظور تعیین ضدیخ مناسب برای انجماد جنین و

زمینه و هدف

تعداد سلولها و میزان آپوپتوزیز نشانه‌های مفیدی از سلامت و تکامل جنین می‌باشند. مرگ سلولی حتی در طول تکامل اولیه جنینی در محیط‌های In vivo و In vitro (IVC¹، IVM² و IVC³) اتفاق می‌افتد (۱). در بلاستوسیست‌های سالم، بعضی از سلولها ناشی از حرکت‌های مختلف مرگ برنامه‌ریزی شده سلولی⁴ را طی کرده که منجر به تنظیم تعداد سلولها یا حذف سلول‌های آسیب‌دیده در طول تکامل جنین می‌شود (۲). علی‌رغم اثرات مفید آپوپتوزیز، در صورتی که تعداد و نسبت سلول‌هایی که وارد آپوپتوزیز می‌گردند افزایش یابد، اثرات مخرب و مضری بر تکامل و لانه‌گزینی جنین دارد (۳). عوامل استرس‌زای محیطی نظیر افزایش pH داخل سلولی، سمیت محلولها و غلظت‌های سمی Ca²⁺ ممکن است منجر به آپوپتوزیز در بلاستومرها گردد (۴). مرگ برنامه‌ریزی شده سلولی که آپوپتوزیز نامیده می‌شود (۵)، شکلی از مرگ سلولی است که توسط دو شاخص اصلی از نکروز مشخص می‌شود. شاخص اول، ویژگی‌های مورفو‌لوژی نظیر کاهش حجم سلول، متراکم شدن کروماتین، فراگمنته شدن هسته‌ای و در نهایت تشکیل اجسام آپوپتوزی است و شاخص دیگر، شکست و قطعه قطعه شدن DNA می‌باشد که DNA بوسیله یک اندونوکلئاز وابسته به یون کلسیم و می‌نیزیوم به قطعات اولیگونوکلئوزومی قطعه قطعه می‌شود. امروزه از روشی بنام TUNEL⁵ برای رنگ‌آمیزی سلول‌های آپوپتوزی (میزان شکست DNA) به طور رایج استفاده می‌شود. در این روش انتهای قطعات DNA شکسته شده بوسیله آنزیم دی‌اکسی ترانسفراز انتهایی (TDT)⁶ با نوکلئوتیدهای جدید تغییر

1- In Vitro Maturation

2- In Vitro Fertilization

3- In Vitro Culture

4- Apoptosis

5- TDT- Mediated Dntp-biotin Nick End Labeling

6- Terminal Deoxy Transferase

۵۰ $\mu\text{g}/\text{ml}$ جنتامایسین (Sigma, Germany) قرار گرفتند. کمپلکس اووسیت-کومولوس مجدداً در محلول NCSU-37 بدون dbcAMP و هورمون به مدت ۲۴ ساعت کشت داده شد. تمام کشتها در دمای $38/5^\circ\text{C}$ و در انکوباتور مرطوب حاوی ۵٪ گاز CO₂ انجام شد.

IVF و کشت جنین: IVF براساس روش Kikuchi و همکاران (۱۴) با کمی تغییر انجام شد. اسپرم های تهیه شده از خوک که براساس روش Yuge و همکاران (۱۵) منجمد شده بود، ذوب و به مدت ۱۵ دقیقه در محیط کشت ۱۹۹ TCM-199 حاوی املاح (Gibco, Earle's NY, USA) با pH=۷/۸ انکوبه شد. سپس $10\ \mu\text{l}$ از اسپرم های فوق به $90\ \mu\text{l}$ از محیط کشت لقاح حاوی $25\ mM$ کلرید سدیم، $12\ mM$ کلرید پتاسیم، $0/۵\ mM$ بیکربنات سدیم، $0/۵\ mM$ فسفات دی هیدروسدیم، سولفات منیزیم، $0/۵\ mM$ استرپتومایسین سدیم، $10\ mM$ لاکتات سدیم، $3\ mg/ml$ آلبومین سرم گاوی، $5\ mM$ کافئین و $50\ mg/ml$ جنتامایسین (تمام مواد از شرکت Sigma آلمان تهیه شده است). قرار گرفتند. غلظت نهایی اسپرم در حدود $1 \times 10^7/\text{ml}$ تنظیم شد. اووسیتها همراه با اسپرمها به مدت ۵ ساعت در انکوباتور قرار گرفتند. سپس سلول های کومولوس و اسپرم های متصل به اووسیت های لقاح یافته به صورت مکانیکی با چند بار پیپت کردن جدا و تخمک های لقاح یافته به محیط کشت انتقال داده شدند. زایگوت های فرضی در محیط کشت NCSU-37 حاوی $4\ mg/ml$ BSA (Sigma, Germany), $17\ mM$ پیروات سدیم ($1/10\ mM$) و $50\ \mu\text{g}/\text{ml}$ جنتامایسین کشت داده شدند. 72 ساعت پس از لقاح، تمام جنین های تقسیم یافته^۱ به محیط کشت تازه NCSU-37 حاوی $4\ mg/ml$ BSA (Sigma, Germany) و $5/۵۰\ mM$ D-گلوکز (Teikokuzoki, Japan)^۲ و $50\ \mu\text{g}/\text{ml}$ جنتامایسین منتقل شدند. جنین های تقسیم شده به مدت 4 روز تا مرحله بلاستوسیست کشت داده

مشخص کردن مکانیسم های آسیب به جنین قبل از انجامد بود. به دلیل محدودیت های موجود در استفاده از جنین انسان و به دلیل شباهت زیاد مراحل تکاملی جنین انسان با جنین خوک، در این مطالعه از جنین خوک استفاده شد.

روش بررسی

تعداد ۱۹۷ بلاستوسیست خوک به روش In vitro تولید شدند و به طور تصادفی به چهار گروه تقسیم گردیدند. جمع آوری اووسیتها و بلوغ در محیط کشت: تخدمان های خوک پس از تهیه از کشتارگاهی در شهر کیتاکیوشو ژاپن، بلافارسله در داخل سرم فیزیولوژی با درجه حرارت 35°C به آزمایشگاه منتقل گردید. اووسیتها بواسیله یک سرنگ $10\ ml$ با سرسوزن 18 از فولیکول های با قطر $3-6\ mm$ آسپیره شده و در محلول تغییر یافته PBS^۳ (Nihonzenyaku, Japan) $100\ IU/ml$ حاوی $1\ mg/ml$ پنی سیلین G (Sigma, Germany) و $1/100\ IU/ml$ استرپتومایسین سولفات (Sigma, Germany) قرار گرفت. تنها از اووسیت های با اوپلasm یکنواخت و سلول های کومولوس متراکم در این تحقیق استفاده شد. برای بلوغ اووسیتها از روش Kikuchi و همکاران (۱۴) استفاده گردید. به طور خلاصه در حدود $50\ \mu\text{l}$ کمپلکس اووسیت-کومولوس به مدت $20-22$ ساعت در $50\ \mu\text{l}$ از محیط کشت بلوغ 10% مایع فولیکولی خوک (V/V) و $1\ mM$ سیستئین (Sigma, Germany) $1/10\ mM$ - β -Merکاپتواتانسل (Sigma, USA) $3\ \mu\text{m}$ dbcAMP^۴ ($10\ IU/ml$, Wako, Japan) یا $e\text{CG}^5$ ($10\ IU/ml$, Teikokuzoki, Japan) $10\ IU/ml$ گنادولتروپین کوریونی اسپین کوریونی انسانی یا $h\text{CG}^6$ (Teikokuzoki, Japan) و

1- Modified Phosphate-Buffered Saline

2- North Carolina State University

3- Dibutyryl cyclic AMP

4- Equine chorionic gonadotropin

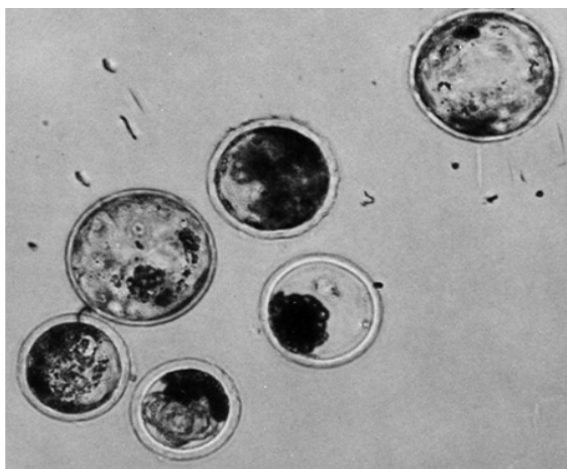
5- Human chorionic gonadotropin

گردید. به منظور بررسی آپوپتوزیز تمام بلاستوسیستهای دارا یا فاقد حفره بلاستوسل بعد از ارزیابی مورفولوژیک با تکنیک TUNEL مورد بررسی قرار گرفتند.

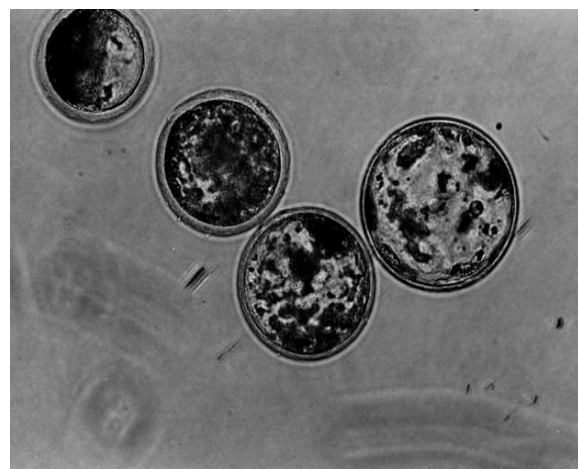
رنگ‌آمیزی TUNEL و PI رنگ‌آمیزی TUNEL در برای بررسی شکست DNA در بلاستوسیستها انجام شد (۲۲). بدین ترتیب که ابتدا بلاستوسیستها، پس از شستشو با محلول دالبکو بافر فسفات حاوی $\frac{1}{3}$ ٪ پلی‌وینیل الکل (PBS/PVA; ۳ mg/ml) در محلول پارافرمالدئید٪۳۷ (wako, Japan) در طول شب در درجه حرارت 4°C فیکس شدند. به منظور افزایش نفوذپذیری پرده شفاف بعد از شستشو بلاستوسیستها با PBS/PVA، به مدت ۴۰ دقیقه در محلول ۱٪ تریتون X (Sigma, Germany) قرار داده شدند. پس از شستشوی مجدد با PBS/PVA براساس دستورالعمل شرکت سازنده در محلول (Boehringer, Mannheim, wako, Japan) TUNEL به مدت یک ساعت در حرارت 37°C آنکوبه گردیدند. برای نمونه کنترل منفی و به منظور اطمینان از عدم نشانه‌گذاری بدون آنزیم، تعدادی بلاستوسیست فقط در محلول فلورئورست و برای نمونه کنترل مثبت، تعدادی از بلاستوسیستها قبل از آنکوباسیون در محلول TUNEL، به مدت یک ساعت در $50\mu\text{g}/\text{ml}$ محلول DNase I (Sigma, Germany) آنکوبه شدند. به منظور نشانه‌گذاری همه هسته‌ها پس از آنکوبه کردن بلاستوسیستها به مدت یک ساعت در محلول $50\text{ mg}/\text{ml}$ RNase A (Sigma, Germany) RNAse A به مدت ۲۰ دقیقه، رنگ‌آمیزی زمینه‌ای گردید. پس از شستشو در محلول PBS/PVA بلاستوسیستها با فشار کم لامل در یک قطره ۲۰ میکرولیتری محلول antibleaching

شدند. بلاستوسیستهای با مورفولوژی طبیعی در روز ۶-۷ پس از لقادیر انتخاب شدند، به منظور اجتناب از سوگیری در نمونه‌برداری، جنین‌های با اندازه مساوی انتخاب و به طور تصادفی در گروه‌های مورد مطالعه قرار گرفتند.

قرار دادن جنین‌ها در معرض ضدیخ: به منظور بررسی آسیب واردہ به بلاستوسیست در طی قرار گرفتن جنین‌ها در معرض ضدیخ، بلاستوسیستها در محلول‌های ۱۰٪ ضدیخ اتیلن گلیکول (Wako, Japan)، ۲٪ پروپاندیول (Wako, Japan) و گلیسرول (Wako, Japan) در یک روش ۳ مرحله‌ای در درجه حرارت اتاق ($23-25^{\circ}\text{C}$) قرار گرفتند. به طوریکه در ابتدا به مدت ۵ دقیقه در محلول ضدیخ $\frac{2}{3}$ ٪ و سپس به مدت ۵ دقیقه در محلول ضدیخ $\frac{6}{6}$ ٪ و در نهایت به مدت ۱ ساعت در محلول ضدیخ $\frac{1}{3}$ ٪ در درجه حرارت اتاق و در تاریکی قرار گرفتند. حلال مورد استفاده برای همه ضدیخها، PBS (Gibco, NY, USA) بود که به آن $\frac{3}{3}$ ٪ BSA اضافه شد. بعد از قرار گرفتن بلاستوسیستها در غلظت نهایی از هر نوع ضدیخ، ضدیخها مجدداً در یک روش ۳ مرحله‌ای از بلاستوسیستها خارج شدند. برای اینکار در ابتدا به مدت ۵ دقیقه در محلول ضدیخ $\frac{6}{6}$ ٪ و سپس به مدت ۵ دقیقه در محلول ضدیخ $\frac{2}{3}$ ٪ و در نهایت در محلول PBS بدون ضدیخ در درجه حرارت اتاق قرار گرفتند. در زمانی که بلاستوسیستهای گروه تجربی در معرض محلول‌های افزایشی، تعادلی و کاهشی ضدیخ قرار می‌گرفتند، بلاستوسیستهای گروه کنترل فقط در محلول PBS قرار گرفتند. بعد از خارج شدن ضدیخ، جنین‌ها در محیط کشت NCSU-37 حاوی $4\text{ mg}/\text{ml}$ BSA- $5/50\text{ mM}$ -D-گلوکز و $50\mu\text{g}/\text{ml}$ جنتامایسین تحت روغن معدنی به مدت ۲۴ ساعت کشت داده شدند. پس از ۲۴ ساعت کشت، شواهد مورفولوژی زنده ماندن بلاستوسیستها، براساس تشکیل حفره بلاستوسل توسط استریومیکروسکوپی با بزرگنمایی $\times 40$ ارزیابی



شکل ۲- بلاستوسيستهای خوک از گروه تجربی که در آن بعضی از بلاستوسيستهای چروکیده بودند و پس از ۲۴ ساعت کشت نتوانستند مجدداً حفره بلاستوسیل اولیه خود را پیدا کنند (بزرگنمایی $\times 200$).



شکل ۱- بلاستوسيستهای خوک از گروه کنترل که در آن همه بلاستوسيستهای دارای پرده شفاف سالم و دست نخورده بوده و بلاستومرها کاملاً فضای داخل پرده شفاف را اشغال کرده‌اند (بزرگنمایی $\times 200$).

نتایج

براساس یافته‌های این مطالعه بلاستوسيستهای خوک از گروه کنترل دارای پرده شفاف سالم و دست نخورده بوده و بلاستومرها کاملاً فضای داخل پرده شفاف را اشغال کرده‌اند (شکل ۱) در حالیکه در گروه تجربی، بعضی از بلاستوسيستهای چروکیده بوده و پس از ۲۴ ساعت کشت نتوانستند مجدداً حفره بلاستوسیل اولیه خود را پیدا کنند (شکل ۲). تعداد ۱۹۷ بلاستوسيست در روز ۶ و ۷ بعد از IVF به منظور ارزیابی میزان شاخص شکست DNA جنین‌های خوک در معرض ضدیخهای مختلف قرار گرفتند. همانطوریکه در جدول ۱ دیده می‌شود، وقتی هسته‌های با DNA دارای شکست و

(Oregon, USA) بر روی لام قرار گرفت و لامها در زیر میکروسکوپ فلوبئوروسنت مورد بررسی قرار گرفتند. روش‌های آماری: نسبت هسته‌های آپوپتوزی با شمارش سلول‌های TUNEL مثبت به کل هسته‌های بلاستوسيست (هسته‌های PI مثبت) در همان بلاستوسيست به عنوان شاخص میزان شکست DNA محاسبه گردید. با توجه به محدودیت داده‌های خام حاصل، ابتدا از تبدیل Arcsine استفاده نموده و تمامی آنالیزها بر روی داده‌های تبدیل شده صورت گرفت. داده‌ها با آنالیز واریانس و آزمون تعقیبی فیشر با استفاده از برنامه Statview مورد تجزیه و تحلیل قرار گرفت. تفاوت‌های در سطح ۵٪ و کمتر از آن معنی‌دار تلقی گردید.

جدول ۱- میزان شکست DNA در جنین‌های خوک پس از یک ساعت قرار گیری در ضدیخ و ۲۴ ساعت کشت

شاخص هسته‌های با شکست DNA		تعداد کل بلاستومرها (Mean \pm SEM)	تعداد جنینها	میزان شکست DNA
فاقد بلاستوسیل	دارای بلاستوسیل			
۳۸ \pm ۲ ^a	۱۹/۹ \pm ۱ ^a	۳۴/۴ \pm ۱/۲	۵۲	اتلین گلیکول (EG)
۳۸/۵ \pm ۲ ^a	۲۱/۸ \pm ۱/۲ ^a	۳۶/۴ \pm ۱/۳	۵۴	پروپاندویول (PD)
۳۱ \pm ۲/۱ ^b	۲۰/۷ \pm ۱/۵ ^a	۳۶/۴ \pm ۱/۵	۵۱	گلسریول (GLY)
۲۲/۱ \pm ۱/۷ ^c	۱۱/۶ \pm ۰/۴ ^b	۳۸/۶ \pm ۲	۴۰	کنترل

^{a-c}: مقادیر با حروف مختلف در یک ستون بطور معنی داری متفاوت هستند ($p < 0.05$)

قرار گرفتند و به مدت ۲۴ ساعت کشت داده شدند، بدون توجه به نوع ضدیخ به طور معنی‌داری ($p < 0.05$) بیشتر از بلاستوسیستهای گروه کنترل بود. در مطالعه دیگری که توسط نگارنده و همکاران انعام شد، اثرات انجماد شیشه‌ای، بر میزان آپوپتوزیز در بلاستوسیست موش مورد مطالعه قرار گرفت و به طور مشابهی نشان داده شد که بلاستوسیستهای موش که به طریق شستشوی شاخ رحم به وسیله محیط کشت به دست آمده بودند پس از انجماد شیشه‌ای و ذوب، میزان شکست DNA در آنها (40.8 ± 0.28) نسبت به گروه کنترل (49.2 ± 0.22) به طور معنی‌داری بیشتر بود (۱۳). تفاوت در میانگین شاخص آپوپتوزیز در تجربه قبلی نسبت به تجربه حاضر می‌تواند به دلیل تفاوت در نوع حیوان مورد تجربه، تفاوت در مدت زمان قرار گرفتن در ماده ضدیخ (۳۰ دقیقه در مقابل ۵ دقیقه) و بالاخره کیفیت بلاستوسیست باشد که در تجربه حاضر بلاستوسیست به روش *In vitro* تولید شده و براساس گزارش محققین، کیفیت بلاستوسیستهای تولید شده به روش *In vitro* به دلیل اثرات زیانبار محیط کشت روی جنین و فقدان ترشحات پاراکرینی مترشحه از لوله‌های رحمی، پایین‌تر از کیفیت بلاستوسیستهای تولید شده به روش *In vivo* بوده و بنابراین میزان شاخص هسته‌های *In vitro* بیشتر می‌باشد (۲۳). میزان شاخص هسته‌های با شکست DNA در گروه EG نسبت به گروه‌های دیگر کمتر بود و این نشان می‌دهد که EG کمترین میزان سمیت را بر روی جنینها دارد. به طور مشابهی Kasai و همکاران پس از قرار دادن جنین‌های مرحله مورولای موش در محلول‌های ۳۰٪ ضدیخ در PBS (v/v)، و بررسی میزان زنده ماندن جنینها با ارزیابی پتانسیل تکامل آنها به بلاستوسیست در محیط کشت، نشان دادند که EG کمترین میزان سمیت را دارد و GLY و PD از نظر

تعداد کل بلاستومراها در بلاستوسیستها بعد از قرار گرفتن در ضدیخهای مختلف و ۲۴ ساعت کشت متعاقب آن با تکنیک TUNEL مورد بررسی قرار گرفتند، تفاوت معنی‌داری در تعداد کل بلاستومراها در بلاستوسیستها در بین گروه‌های مختلف مشاهده نشد (34.4 ± 1.2 ؛ 36.4 ± 8.4 ؛ 36.4 ± 8.4 ؛ 38.6 ± 8.4)؛ ولی بدون توجه به نوع ضدیخ، شاخص شکست DNA در بلاستوسیستهایی که در معرض ضدیخهای مختلف قرار گرفته بودند، به طور معنی‌داری ($p < 0.05$) از بلاستوسیستهای گروه کنترل بیشتر بود. در ضمن، میزان شاخص شکست DNA در بلاستوسیستهایی که دارای مورفوЛОژی طبیعی بودند- یعنی پس از ۲۴ ساعت کشت توانستند مجدداً حفره بلاستوسل اولیه خود را ایجاد کنند- نسبت به بلاستوسیستهای فاقد بلاستوسل و چروکیده، بدون توجه به نوع ضدیخ کمتر بود (جدول ۱).

بحث

آپوپتوزیز یک مکانیسم مرگ سلولی آندوژن است که برای تکامل طبیعی و هموستاز بافتی لازم و ضروری است؛ ولی عمدتاً در طی کشت جنین در خارج از رحم به دلیل شرایط نامناسب اتفاق می‌افتد (۱۶، ۱۷). روند آپوپتوزیز در پاسخ به انواع متفاوتی از حرکت‌های غیرفیزیولوژیک نظیر حرارت، سموم، استرس‌های اکسیداتیو و پرتوهای آسیب رسان نیز فعال می‌شود (۱۸، ۱۹). فشار اسموتیک نیز ممکن است به صورت هیدراتاسیون و دهیدراتاسیون، در طول مواجهه جنین با مواد ضدیخ باعث آسیب به جنین شوند (۲۰-۲۲). لذا در مطالعه حاضر به منظور کاهش فشار اسمزی، جنینها در طی ۳ مرحله با افزایش غلظت ضدیخها در درجه حرارت اتاق در معرض این مواد قرار گرفتند؛ ولی با این وجود میزان زنده ماندن بلاستوسیستهای خوک کاهش یافت. میزان شاخص هسته‌های با شکست DNA در بلاستوسیستهایی که در معرض ضدیخهای مختلف

مرتبط باشد.

نتیجه گیری

یافته‌های مطالعه حاضر نشان می‌دهد که قرارگرفتن بلاستوسیستهای خوک در معرض ضدیخهای مختلف، منجر به افزایش تعداد هسته‌های با شکست DNA می‌شود. در ضمن شاخص هسته‌های با شکست DNA در ارتباط با مورفولوژی جنینها بعد از کشت به صورت In vitro بود.

مطالعه حاضر نشان داد که مرگ سلولی از نوع آپوپتوزیز می‌تواند به عنوان یکی از مکانیسم‌های مرگ بلاستومرها در بلاستوسیست پس از مواجهه با ضدیخ مطرح باشد و باعث کاهش میزان زنده ماندن جنین، لانه‌گزینی و تولد نوزاد زنده شود. به‌نظر می‌رسد ادامه تحقیقات در جهت پیدا کردن مکانیسم‌های آسیب به جنین، می‌تواند موجب موفقیت‌هایی در انجام‌آور ART، نه تنها در زمینه حیوانی بلکه در انسان گردد.

تشکر و قدردانی

از آقای پروفسور سوزوکی استاد گروه تولید مثل دانشگاه یاماگوچی ژاپن که جهت انجام این طرح نهایت همکاری را داشتند و از اداره بازررسی گوشت شهر کیتاکیوشو ژاپن بخاطر در اختیار گذاشتن تخدمان‌های خوک تقدير و تشکر می‌شود.

میزان سمیت بعد از آن قرار می‌گیرند؛ اگرچه محققین فوق ارتباط بین ضدیخ و شکست DNA را نشان ندادند (۲۴). با این حال، تفاوت معنی‌داری در شاخص هسته‌های با شکست DNA در بین بلاستوسیستهای در معرض ضدیخهای مختلف وجود ندارد.

یافته‌های مطالعه حاضر نشان می‌دهد که مواجهه جنین‌های خوک با ضدیخهای مختلف، منجر به مسمومیت شیمیایی جنین‌های خوک شده و تعداد هسته‌های با شکست DNA را بدون توجه به نوع ضدیخ افزایش می‌دهد. در ضمن مطالعه حاضر نشان داد که شاخص هسته‌های با شکست DNA در ارتباط با In vitro مورفولوژی جنینها بعد از کشت به صورت می‌باشد؛ به طوریکه اکثر سلول‌های با هسته دارای شکست DNA در بلاستوسیستهایی بود که پس از مواجهه با ضدیخ و کشت مجدد نتوانستند حفره بلاستوسیل اولیه خود را پیدا کنند و یا به عبارت دیگر میزان شکست DNA در جنین‌های فاقد بلاستوسیل که در این مطالعه به عنوان جنین‌های مرده تلقی شدند نسبت به جنین‌های دارای بلاستوسیل بیشتر است. Jurisicova معتقد است وقتی مرگ برنامه‌ریزی شده سلولی به یک آستانه معینی برسد که برای تکامل و تکوین جنین مضر باشد منجر به مرگ جنین‌های آسیب دیده می‌شود (۱۹). بنابراین نتایج نشان می‌دهد پس از ۲۴ ساعت در میزان آسیب به DNA در جنینها که تشکیل مجدد بلاستوسیستهای با حفره بلاستوسیل

References

- 1- Hardy K. Cell death in the mammalian blastocyst. Mol Hum Reprod.1997;3:919-925.
- 2- Jurisicova A., Rogers I., Fasciani A., Casper R.F., Varmuza S. Effect of maternal age and conditions of fertilization on programmed cell death during murine preimplantation embryo development. Mol Hum Reprod.1998;4:139-145.
- 3- Levy R.R., Cordonier H., Czyba J.C., Guerin J.F. Apoptosis in preimplantation mammalian embryo and genetics. Ital J Anat Embryol.2001;106:101-108.
- 4- Hochachka P.W. Defense strategies against hypoxia and hypothermia. Science.1986;231:234-241.
- 5- Gavrieli Y., Sherman Y., Ben-Sasson S.A. Identifica-

- tion of programmed cell death in situ via specific labeling of nuclear DNA fragmentation. *J Cell Biol.* 1992;119(3):493-501.
- 6- Yamadori I., Yoshino T., Kondo E., Cao L., Akagi T., Matsuo Y., Minowada J. Comparison of two methods of staining apoptotic cells of leukemia cell lines. Terminal deoxynucleotidyl transferase and DNA polymerase I reactions. *J Histochem Cytochem.* 1998; 46(1):85-90.
- 7- Neuber E., Luetjens C.M., Chan A.W., Schatten G.P. Analysis of DNA fragmentation of in vitro cultured bovine blastocysts using TUNEL. *Theriogenology.* 2002;57(9):2193-202.
- 8- Pampfer S., Vanderheyden I., McCracken J.E., Vesela J., De Hertogh R. Increased cell death in rat blastocysts exposed to maternal diabetes in utero and to high glucose or tumor necrosis factor-alpha in vitro. *Development.* 1997;124(23):4827-36.
- 9- Emiliani S., Van den Bergh M., Vannin A.S., Biramane J., Englert Y. Comparison of ethylene glycol, 1, 2- propanediol and glycerol for cryopreservation of slow-cooled mouse zygotes, 4-cell embryos and blastocysts. *Hum Reprod.* 2000;15(4):905-10.
- 10- Fahning M.L., Garcia M.A. Status of cryopreservation of embryos from domestic animals. *Cryobiology.* 1992; 29:1-18.
- 11- Friedler S., Giudice L.C., Lamb E.J. Cryopreservation of embryos and ova. *Fertil Steril.* 1988;49:743-64.
- 12- Marquez-Alvarado Y.C., Galina C.S., Castilla B., Leon H., Moreno-Mendoza N. Evidence of damage in cryopreserved and fresh bovine embryos using the Tunel technique. *Reprod Domest Anim.* 2004;39(3): 141-5.
- ۱۳- رجایی فرزاد، سلیمانی راد جعفر، نیکنفوس بهرون، غفاری معرفت. اثرات انجماد شیشه‌ای بر میزان آپوپتوز در مرحله بلاستوسيست. فصلنامه پژوهشی باروری و ناباروری، شماره اول، سال پنجم، زمستان ۱۳۸۲، صفحات: ۱۴-۲۲.
- 14- Kikuchi K., Kashiwazaki N., Noguchi J., Shimada A., Takahashi R., et al. Developmental competence after transfer to recipients of porcine oocytes Matured, fertilized, and cultured in vitro. *Biol Reprod.* 1999;60: 336-40.
- 15- Yuge M., Otoi T., Nii M., Murakami M., Karja N.W., et al. Effects of cooling ovaries before oocyte aspiration on meiotic competence of porcine oocytes and of exposing in vitro matured oocytes to ambient temperature on in vitro fertilization and development of the oocytes. *Cryobiology.* 2003;47(2):102-8.
- 16- Wyllie A.H., Kerr J.F., Currie A.R. Cell death: the significance of apoptosis. *Int Rev Cytol.* 1980;68:251-306.
- 17- Leese H.J., Donnay I., Thompson J.G. Human assisted conception: a cautionary tale. Lessons from domestic animals. *Hum Reprod.* 1998;4(Suppl):184-202.
- 18- Wyllie A.H. Apoptosis: an overview. *Br Med Bull.* 1997;53:451-465.
- 19- Jurisicova A., Varmuza S., Casper R.F. Programmed cell death and human embryo fragmentation. *Mol Hum Reprod.* 1996;2:93-98.
- 20- Men H., Monson R.L., Parrish J.J., Rutledge J.J. Detection of DNA damage in bovine metaphase II oocytes resulting from cryopreservation. *Mol Reprod Dev.* 2003;64:245-250.
- 21- Oda K., Gibbons W.E., Leibo S.P. Osmotic shock of fertilized mouse ova. *J Reprod Fertil.* 1992;95:737-747.
- 22- Pedro P.B., Zhu S.E., Makino N., Sakurai T., Edashige K., Kasai M. Effects of hypotonic stress on the survival of mouse oocytes and embryos at various stages. *Cryobiology.* 1997;35:150-158.
- 23- Brison D.R., Schultz R.M. Apoptosis during mouse blastocyst formation: evidence for a role for survival factors including transforming growth factor alpha. *Biol Reprod.* 1997;56:1088-1096.
- 24- Kasai M. Simple and efficient methods for vitrification of mammalian embryos. *Anim Reprod Sci.* 1996; 42:67-75.